

ИЗГИБ ТОНКОЙ ПЛАСТИНЫ ПРИ ИМПУЛЬСНОМ ВОЗДЕЙСТВИИ ПОТОКА ЗАРЯЖЕННЫХ ЧАСТИЦ

Куликов И.С.

Использование потоков заряженных частиц в разнообразных процессах металлургии и обработки материалов ставит проблемы, связанные с теплофизическими, механическими и химическими явлениями, происходящими в телах [1-5]. При изучении этих проблем на первом этапе решается тепловая задача, затем при известном температурном поле рассчитываются механические и химические характеристики. Одновременно при воздействии пучка заряженных частиц высокой энергии на тела возникает высокое импульсное давление, которое в значительной степени их деформирует. Если таким телом является тонкая пластинка, то воздействие потока заряженных частиц может привести к ее изгибу, возникновению значительных изгибных напряжений и деформаций с последующим разрушением.

Предположим, что давление $q(x, y, t) = L(\phi, t)f(x, y)$, возникающее на поверхности тонкой прямоугольной пластины при воздействии на нее импульсного пучка заряженных частиц, известно и определяется на основе имеющихся эмпирических зависимостей, полученных в результате физических экспериментов. Тогда изгиб тонкой пластины, вызванный импульсным воздействием, описывается следующим уравнением:

$$D \left(\frac{\partial^4 w}{\partial x^4} + 2 \frac{\partial^4 w}{\partial x^2 \partial y^2} + \frac{\partial^4 w}{\partial y^4} \right) - q(x, y, t) = -\rho h \frac{\partial^2 w}{\partial t^2}, \quad (1)$$

где w – прогиб пластины;

ρ – плотность материала пластины;

h – толщина пластины;

$D = \frac{Eh^3}{12(1-\nu^2)}$ – цилиндрическая жесткость;

E – модуль упругости материала пластины;

ν – коэффициент Пуассона;

t – время;

ϕ – поток заряженных частиц.

Возникающие в пластине деформации и напряжения имеют вид:

$$\varepsilon_{xx} = -z \frac{\partial^2 w}{\partial x^2}; \quad \varepsilon_{yy} = -z \frac{\partial^2 w}{\partial y^2}; \quad \varepsilon_{xy} = -2z \frac{\partial^2 w}{\partial x \partial y} \quad (2)$$

$$\sigma_{xx} = \frac{E}{1-\nu^2} (\varepsilon_x + \nu \varepsilon_y); \quad \sigma_{yy} = \frac{E}{1-\nu^2} (\varepsilon_y + \nu \varepsilon_x); \quad \sigma_{xy} = \frac{E}{2(1+\nu)} \varepsilon_{xy}.$$

Начальные условия примем следующими

$$w = 0, \quad \frac{\partial w}{\partial t} = 0 \quad \text{при } t = 0 \quad (3)$$

Граничные условия запишем для двух вариантов закрепления пластины:

1 вариант – жесткое закрепление

$$w = 0, \quad \frac{\partial w}{\partial x} = 0 \quad \text{при } x = 0, a \quad (4)$$

$$w = 0, \quad \frac{\partial w}{\partial y} = 0 \quad \text{при } y = 0, b$$

2-й вариант – свободное закрепление

$$w = 0, \quad \frac{\partial^2 w}{\partial x^2} = 0 \quad \text{при } x = 0, a \quad (5)$$

$$w = 0, \quad \frac{\partial^2 w}{\partial y^2} = 0 \quad \text{при } y = 0, b$$

Если при решении задачи учитываются неупругие деформации, вызванные нагревом и облучением, уравнение (1) будет иметь вид [6]

$$D \left(\frac{\partial^4 w}{\partial x^4} + 2 \frac{\partial^4 w}{\partial x^2 \partial y^2} + \frac{\partial^4 w}{\partial y^4} \right) - \left(\frac{\partial^2 M_{11H}}{\partial x^2} + 2 \frac{\partial^2 M_{12H}}{\partial x \partial y} + \frac{\partial^2 M_{22H}}{\partial y^2} \right) - q(x, y, t) = -\rho h \frac{\partial^2 w}{\partial t^2}, \quad (6)$$

где

$$M_{11H} = \frac{1}{1-\nu^2} \int_{-h/2}^{h/2} E(T, \phi, t) (\epsilon_x^H + \nu \epsilon_y^H) Z dZ,$$

$$M_{22H} = \frac{1}{1-\nu^2} \int_{-h/2}^{h/2} E(T, \phi, t) (\epsilon_y^H + \nu \epsilon_x^H) Z dZ,$$

$$M_{12H} = \frac{1}{1+\nu} \int_{-h/2}^{h/2} E(T, \phi, t) \epsilon_{xy}^H Z dZ,$$

$T(x, y, t)$ - температурное поле в пластинке, ϕ - поток заряженных частиц, t – время,

$\epsilon_{xx}^H, \epsilon_{yy}^H, \epsilon_{xy}^H$ - неупругие деформации (термическое расширение, пластичность, ползучесть),

$$\epsilon_{sk}^H = \epsilon_{sk}^T + \epsilon_{sk}^P + \epsilon_{sk}^C,$$

где $s, k = x, y$,

ϵ_{sk}^T - деформация термического расширения,

ϵ_{sk}^P - мгновенные пластические деформации,

ϵ_{sk}^C - деформации ползучести.

Деформации термического расширения при известном поле температур $T(x,y,t)$ определяются как

$$\varepsilon_{xx}^T = \varepsilon_{yy}^T = \alpha T(x, y, t) \quad (7)$$

$$\varepsilon_{xy}^T = 0.$$

Для определения мгновенных пластических деформаций используем теорию течения, согласно которой приращения пластической деформации $d\varepsilon_{sk}^P$ имеют вид

$$d\varepsilon_{sk}^P = S_{sk} d\chi, \quad (8)$$

где $S_{sk} = \sigma_{sk} - \delta_{sk} \sigma$ - компоненты девиатора напряжений, $\sigma = \frac{1}{3}(\sigma_{xx} + \sigma_{yy})$ - компонента шарового тензора напряжений, σ_{sk} - компоненты тензора напряжений ($s, k = x, y$).

$$d\chi = F_\sigma(\sigma_u, T, \phi, t) d\sigma_u + F_T(\sigma_u, T, \phi, t) dT + F_\phi(\sigma_u, T, \phi, t) d\Phi \quad (9)$$

С учетом (8) получим

$$d\varepsilon_{sk}^P = [F_\sigma d\sigma_u + F_T dT + F_\phi d\Phi] S_{sk}$$

Здесь

$$F_\sigma = \frac{3}{2\sigma_u} \left(\frac{1}{E_k} - \frac{1}{E} \right) - \text{силовая функция пластичности,}$$

$$F_T = \frac{3}{2\sigma_u} \left(\beta + \frac{\sigma_u}{E^2} \frac{dE}{dT} \right) - \text{тепловая функция пластичности,}$$

$$F_\phi = \frac{3}{2\sigma_u} J - \text{радиационная функция пластичности,}$$

$\Phi = \phi t$ - флюенс заряженных частиц,

$$\sigma_u = \frac{1}{\sqrt{2}} \sqrt{(\sigma_{xx} - \sigma_{yy})^2 + \sigma_{xx}^2 + \sigma_{yy}^2 + 6\sigma_{xy}^2} - \text{интенсивность напряжений;}$$

$E_k(\sigma_u, T, \phi, t)$ - касательный модуль материала пластины;

$\beta(\sigma_u, T, \phi, t)$ - коэффициент температурной податливости материала пластины;

$J(\sigma_u, T, \phi, t)$ - коэффициент радиационной податливости материала пластины.

Для определения деформации ползучести предполагаем, что

$$\dot{\varepsilon}_u^c = f(\sigma_u, T, \phi, t),$$

где $\dot{\varepsilon}_u^c = \sqrt{\frac{2}{3} \dot{\varepsilon}_{sk}^c \dot{\varepsilon}_{sk}^c}$ - интенсивность скоростей деформаций ползучести.

$$d\varepsilon_{sk}^c = \dot{\varepsilon}_{sk}^c dt$$

$$\dot{\varepsilon}_{sk}^c = \frac{3}{2} \frac{\dot{\varepsilon}_u^c}{\sigma_u} S_{sk} \quad (10)$$

Рассмотрим численное решение задачи, используя метод конечных разностей. Разделим уравнение (6) на $-\rho h$.

Тогда получим

$$C_1 \frac{\partial^4 w}{\partial x^4} + C_1 \frac{\partial^4 w}{\partial y^4} = \frac{\partial^2 w}{\partial t^2} + f,$$

$$\text{где } C_1 = -\frac{D}{\rho h}, \quad f = -\frac{q(x, y, t)}{\rho h} - 2C_1 \frac{\partial^4 w}{\partial x^2 \partial y^2} - \frac{1}{\rho h} \left(\frac{\partial^2 M_{11H}}{\partial x^2} + 2 \frac{\partial^2 M_{12H}}{\partial x \partial y} + \frac{\partial^2 M_{22H}}{\partial y^2} \right).$$

Введем в области $0 \leq x \leq a$, $0 \leq y \leq b$, $t \geq 0$ равномерную по каждой переменной сетку (рис 1)

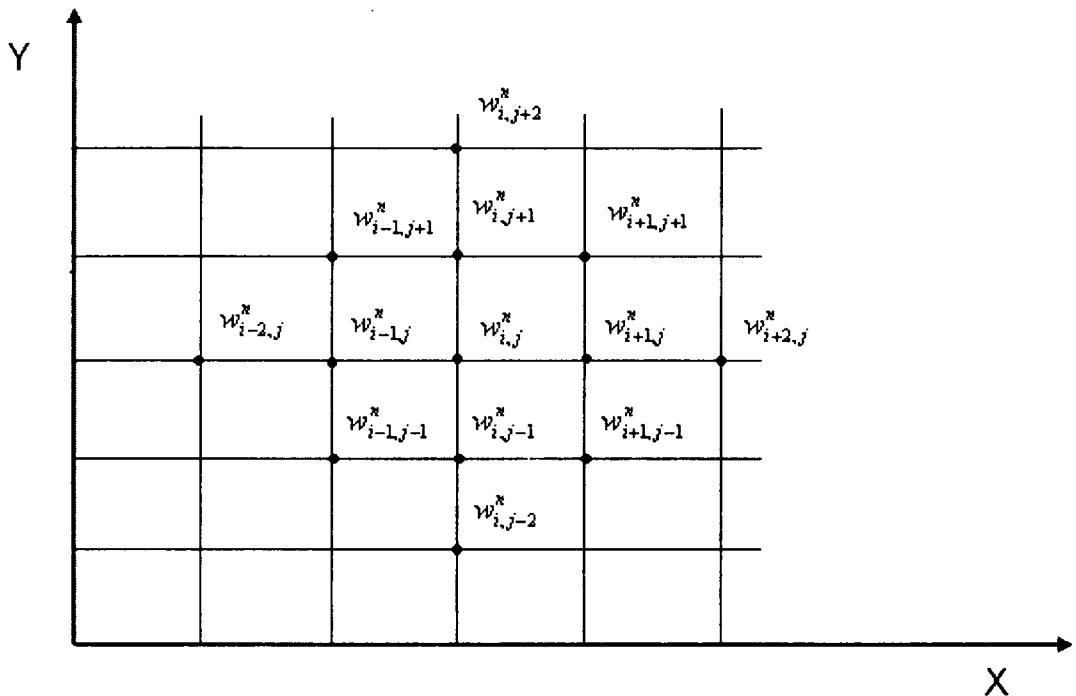


Рис.1.

$$x_i = (i-1)h_x, \quad y_j = (j-1)h_y, \quad t_n = n\tau$$

$$(i = 1, \dots, N; \quad j = 1, \dots, M; \quad n = 0, 1, 2, \dots)$$

$$w_{ij}^n = w(x_i, y_j, t_n)$$

Обозначим

$$\begin{aligned}\Lambda_x^2 w_{ij}^n &= (w_{i+2,j}^n - 4w_{i+1,j}^n + 6w_{i,j}^n - 4w_{i-1,j}^n + w_{i-2,j}^n) / h_x^4 \\ \Lambda_y^2 w_{ij}^n &= (w_{i,j+2}^n - 4w_{i,j+1}^n + 6w_{i,j}^n - 4w_{i,j-1}^n + w_{i,j-2}^n) / h_y^4\end{aligned}\quad (11)$$

Тогда

$$(C_1 \Lambda_x^2 + C_1 \Lambda_y^2) w_{i,j}^n = \frac{w_{i,j}^{n+1} - 2w_{i,j}^n + w_{i,j}^{n-1}}{\tau^2} + f_{ij}^n$$

Введем $w_{i,j}^n = \alpha w_{i,j} + \beta w_{i,j}^{n-1}$, ($\alpha \geq 0$, $\beta \geq 0$, $\alpha + \beta = 1$) для $w_{i,j}^n$ в левой части равенства.

Тогда

$$\tau^2 (C_1 \Lambda_x^2 + C_1 \Lambda_y^2) (\alpha w_{i,j}^{n+1} + \beta w_{i,j}^{n-1}) = w_{i,j}^{n+1} - 2w_{i,j}^n + w_{i,j}^{n-1} + \tau^2 f_{ij}^n \quad (12)$$

Используем «единичный оператор» $I w_{i,j}^n = w_{i,j}^n$:

$$(I - \alpha C_1 \tau^2 \Lambda_x^2 - \alpha C_1 \tau^2 \Lambda_y^2) w_{ij}^{n+1} = F_{ij}, \quad (13)$$

где F_{ij} - все на слое n и $n-1$.

Тогда

$$(I - \alpha C_1 \tau^2 \Lambda_x^2 - \alpha C_1 \tau^2 \Lambda_y^2) w_{ij}^{n+1} = F_{ij} \quad (14)$$

можно записать

$$(I - \alpha C_1 \tau^2 \Lambda_x^2)(I - \alpha C_1 \tau^2 \Lambda_y^2) w_{ij}^{n+1} = F_{ij} \quad (15)$$

Введем промежуточные сеточные функции при помощи следующих соотношений

$$(I - \alpha C_1 \tau^2 \Lambda_x^2) w_{ij}^{n+\frac{1}{2}} = F_{ij} \quad (16)$$

Тогда

$$(I - \alpha C_1 \tau^2 \Lambda_y^2) w_{ij}^{n+1} = w_{ij}^{n+\frac{1}{2}}.$$

Решение задачи распадается на два этапа. На первом дробном шаге решается группа одномерных задач по одной из переменных, на втором шаге – по второй переменной.

Разностные граничные условия для нахождения $w_{ij}^{n+\frac{1}{2}}$:

$$3w_{1j}^{n+\frac{1}{2}} - 4w_{2j}^{n+\frac{1}{2}} + w_{3j}^{n+\frac{1}{2}} = 0, \quad w_{1j}^{n+\frac{1}{2}} = 0, \quad (j = 1, \dots, M) \quad (17)$$

$$3w_{Nj}^{\frac{n+1}{2}} - 4w_{N-1j}^{\frac{n+1}{2}} + w_{iN-2}^{\frac{n+1}{2}} = 0, \quad w_{iN}^{\frac{n+1}{2}} = 0$$

Разностные граничные условия для нахождения w_{ij}^{n+1} будут иметь вид:

$$3w_{i1}^{n+1} - 4w_{i2}^{n+1} + w_{i3}^{n+1} = 0, \quad w_{ij}^{n+1} = 0, \quad (i = 1, \dots, N) \quad (18)$$

$$3w_{iM}^{n+1} - 4w_{iM-1}^{n+1} + w_{iM-2}^{n+1} = 0, \quad w_{iM}^{n+1} = 0.$$

Из начальных условий следует, что

$$w_{ij}^0 = 0 \quad \text{для} \quad i = 1, \dots, N; \quad j = 1, \dots, M,$$

$$w_{ij}^1 = w_{ij}^0 + \tau \frac{\partial w}{\partial t}(0) + \frac{\tau^2}{2} \frac{\partial^2 w}{\partial t^2}(0) + O(\tau^3),$$

$$\frac{\partial w}{\partial t}(0) = 0 - \text{задано,}$$

$\frac{\partial^2 w}{\partial t^2}(0)$ определяется из дифференциального уравнения для $i = 3, \dots, N-2; j = 3, \dots, M-2$.

Для остальных i и j значения w_{ij}^1 находятся из граничных условий с использованием уже найденных w_{ij}^1 .

Таким образом по каждой переменной x или y мы приходим к системам линейных алгебраических уравнений с 5-диагональной матрицей, которые решаются методом прогонки.

Деформации термического расширения, пластичности и ползучести определяем по схемам, изложенным в [6], сущность которых состоит в решении системы разностных уравнений для w_{ij} на каждом этапе нагружения ровно столько раз, сколько это необходимо, чтобы достичь необходимую точность при вычислении ε_{sk}^P и ε_{sk}^C , после чего осуществляется переход на следующий этап.

ЛИТЕРАТУРА

1. Альтшуллер Л.В., Бушман А.В., Жерноклетов М.В. и др. «Изоэнтропы разгрузки и уравнение состояния металлов при высоких плотностях энергии». // ЖЭТФ – 1980. т. 78. №2. – С. 743 - 760.
2. Давыдов А.А., Калинин А.И. «Механические эффекты вблизи ионных треков и термических пиков» // Проблемы ядерной физики космических лучей. – 1986. №26. – С. 60 - 64.
3. Романов Г.С., Сузденков М.В., Тетерев А.В., Фоков Г.А. Теоретическая модель взаимодействия сильнооточного релятивистского электронного пучка с металлической преградой ИФЖ. – 1984. т. 18. №6. – С. 952 - 956.
4. Романов Г.С., Сузденков М.В. Динамика кратерообразования при действии сильнооточных пучков заряженных частиц на металлическую преграду. – Докл. АН БССР. – 1982. т. 62. – С. 496-499.
5. Динс Д., Уолли Д., Теория удара. – В кн.: Высокоскоростные ударные явления. М.: Мир, 1973. – С. 48-111.
6. Куликов И.С. Нестеренко В.Б., Тверковкин Б.Е. Прочность элементов конструкций при облучении. Мн.: Навука і тэхніка, 1990. – 144 с.